

حداقل‌سازی هزینه احداث سرریز پلکانی با استفاده از الگوریتم جستجوی گرانشی

سید پدرام جزائری فارسانی^۱

رامتین معینی*^۲

چکیده

در این تحقیق از یکی از جدیدترین الگوریتم‌های فرآکاوشی به نام الگوریتم جستجوی گرانشی به منظور طراحی بهینه اقتصادی سرریز پلکانی استفاده می‌شود. در حالت کلی، پروژه‌های سدسازی از پروژه‌های پرهزینه عمرانی می‌باشند که لازم است تا حد امکان هزینه‌های احداث آن‌ها کاهش یابد. از جمله سازه‌های پرهزینه احتمالی سدها، سازه‌های مستهلك‌کننده انرژی می‌باشد. استهلاک انرژی در سدها به وسیله سازه‌هایی چون سرریزها انجام می‌شود که در این تحقیق سازه مستهلك‌کننده انرژی، سرریز پلکانی می‌باشد؛ بنابراین در این تحقیق از الگوریتم جستجوی گرانشی به منظور بهینه‌سازی هزینه‌های خاکبرداری و بتونریزی سرریز پلکانی و در نهایت کاهش هزینه‌های احداث آن استفاده شده است. با انجام کدنویسی در محیط نرم‌افزار متلب به عنوان مطالعه موردی کمترین هزینه احداث سرریز پلکانی سد تهری هندوستان با استفاده از الگوریتم جستجوی گرانشی و با منظور نمودن محدودیت‌های هیدرولیکی و توپوگرافی تعیین می‌شود. در ادامه نتایج روش ویتل و پوری و الگوریتم ژنتیک مقایسه می‌شود. مقایسه نتایج روش ویتل و پوری با دو الگوریتم مذکور نشان‌دهنده آن است که هنگامی که چهار پله منظور شود، نتایج الگوریتم ژنتیک و الگوریتم جستجوی گرانشی نسبت به روش ویتل و پوری به ترتیب ۶ و ۷/۶ درصد بهبود می‌یابند و نتایج الگوریتم جستجوی گرانشی ۱/۸ درصد نسبت به نتایج الگوریتم ژنتیک بهبود یافتند.

واژه‌های کلیدی

سازه‌های مستهلك‌کننده انرژی، سرریز پلکانی، طراحی بهینه، الگوریتم جستجوی گرانشی، الگوریتم ژنتیک، سد تهری.

۱. دانشجوی کارشناسی ارشد مهندسی آب و سازه‌های هیدرولیکی، دانشکده مهندسی عمران و حمل و نقل، دانشگاه اصفهان.

۲. استادیار گروه مهندسی عمران، دانشکده مهندسی عمران و حمل و نقل، دانشگاه اصفهان، تلفن: ۰۳۱-۳۷۹۳۵۲۹۳، r.moeini@eng.ui.ac.ir

مقدمه

بوده که این مسأله طراحان را به استفاده از این سرریز بیشتر تغییب می‌کند (فریزل و رنا^۱، ۲۰۱۳). این نکته قابل ذکر است که اغلب سرریزهای پلکانی با مقطع منشوری طراحی می‌شوند لذا توجیه اقتصادی و هیدرولیکی بیشتری نسبت به سایر سرریزها دارند (بزرگ حداد و همکاران، ۲۰۰۵).

در طراحی بهینه سرریز پلکانی عوامل مختلفی از جمله حداقل سازی هزینه‌های ساخت و یا حداکثرسازی عملکرد هیدرولیکی سازه‌ای مورد توجه محققین می‌باشد. بدین منظور مسأله‌ی مذکور را می‌توان در قالب یک مسأله بهینه سازی فرمول بندی و با استفاده از یکی از روش‌های مرسوم بهینه‌سازی آن را حل نمود. در حالت کلی برای حل مسائل بهینه‌سازی می‌توان از یکی از دسته‌بندی کلی روش‌های برنامه‌ریزی خطی، برنامه‌ریزی غیرخطی، برنامه‌ریزی پویا و الگوریتم‌های فراکاوشی^۲ استفاده نمود. هرکدام از این دسته روش‌ها مزایا و معایبی دارند. امروزه استفاده از الگوریتم‌های فراکاوشی با توجه به مزایای ویژه، بیش از پیش مورد توجه محققین در حل مسائل بهینه‌سازی قرار گرفته است. مهمترین مزایای این الگوریتم عبارتند از: (افشار و همکاران، ۱۳۹۳):

- تعیین جواب مسأله تنها از طریق اطلاعات محاسبات تابع هدف و قیدها صورت می‌گیرد و از سایر پیچیدگی‌های حل مسأله با استفاده از سایر روش‌ها از جمله گسته‌سازی و مشتق‌گیری جلوگیری می‌شود.

- رفتار جستجوی هوشمندانه در این الگوریتم‌ها مانع به دام افتادن در نقاط بهینه محلی می‌گردد و بنابراین امکان یافتن نقطه بهینه مطلق افزایش می‌یابد.

- به علت درگیربودن با مجموعه‌ای از جواب‌ها به جای تعیین یک جواب، تعداد زیادی از جواب‌های بهینه یا نزدیک بهینه تعیین می‌شوند و در نهایت با مقایسه آن‌ها جواب بهینه مسأله تعیین می‌شود.

بررسی سوابق تحقیقاتی نشان می‌دهد که در سالیان اخیر چندین کار تحقیقاتی محدود در زمینه تعیین ابعاد بهینه (طراحی) سرریز پلکانی با استفاده از روش‌های مختلف بهینه‌سازی انجام شده است؛ از جمله در سال ۲۰۰۵ بزرگ حداد و همکاران از الگوریتم ژنتیک^۳ به منظور طراحی

سدها برای اهداف گوناگونی از جمله ذخیره آب سطحی، تأمین برق و آب آشامیدنی، ماهی‌گیری، تفریحی و غیره ساخته می‌شوند. سازه سدها از قسمت‌های مختلفی تشکیل شده است که یکی از مهمترین آن‌ها، سازه‌های مستهلك کننده انرژی است. از آنجا که اختلاف آب سراب و پایاب سد زیاد است، انرژی پتانسیل زیادی در آب ذخیره می‌شود و لذا لازم است که مقدار قابل توجهی از این انرژی مستهلك شود تا از تخریب پایین دست سد و سایر مشکلات مالی و جانی جلوگیری شود. استهلاک انرژی می‌تواند توسط سازه‌هایی نظیر انواع سرریزها و حوضچه‌های آرامش انجام شود (جزئی فارسانی و معینی، ۱۳۹۵).

در حالت کلی سرریز سازه‌ای است که باعث انتقال آب اضافی از بالادست سد به پایین دست آن می‌شود. سرریز سدها انواع مختلفی دارند که از جمله آن‌ها می‌توان به سرریزهای سیفونی، نیلوفری، جانبی، لبه‌آبریز و پلکانی اشاره کرد (حسینی و ابریشمی، ۱۳۸۹). هنگامی که ارتفاع سد کم باشد از سرریز و حوضچه آرامش منفرد استفاده می‌شود ولی در سدهای بلند، سرریز و حوضچه آرامش منفرد کارآمد نمی‌باشد. به دلیل ارتفاع و سرعت زیاد جریان، عدد فرود در پنجه شوت سرریز بسیار بزرگ می‌شود و در نتیجه ابعاد خود حوضچه و دیواره آن بیش از اندازه افزایش می‌یابد. در این حالت سیستمی که بتواند متشكل از تعدادی سرریز و حوضچه آرامش متوالی باشد کارآمد می‌باشد. بدین منظور می‌توان از سرریزهای پلکانی بهره برد (افشار و دارائی خواه، ۱۳۸۹).

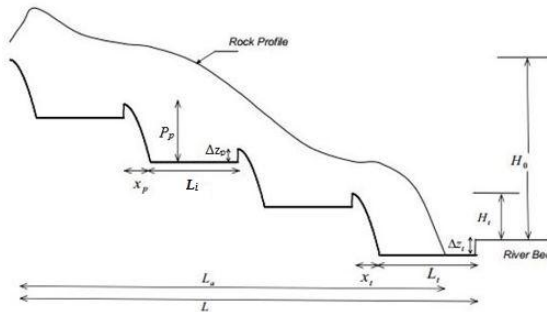
سرریز پلکانی متشكل از پله‌هایی است که از نزدیکی تاج سرریز شروع شده و تا پاشنه پایین دست ادامه دارد. به دلیل کم‌هزینه بودن ساخت سرریز پلکانی، اغلب احداث این سرریز نسبت به سایر سرریزها برتری دارد. علاوه بر این، استهلاک انرژی در سرریزهای پلکانی از سرریزهای صاف بدون پله با همان ابعاد، بیشتر است که این افت انرژی بیشتر باعث کاهش طول حوضچه آرامش و ارتفاع دیوارهای جانبی آن می‌شود. از دیگر مزایای سرریز پلکانی این است که این سرریز نسبت به سایر سرریزها در مقابل خلأزایی مقاوم‌تر

^۱.Genetic Algorithm

^۲.Frizell and Renna

^۳.Meta heuristic algorithm

خاصی (دو یا سه یا چهار) سرریز تقسیم می‌شود که در نهایت منجر به شکل‌گیری سرریزهای ماقبل با طول یکسان می‌شود. در نهایت، به این ترتیب شکل کلی سرریز سد و مقادیر سایر متغیرها مطابق شکل (۱) تعیین می‌شود (ویتل و پوری، ۱۹۸۷).



شکل (۱): مقطع طولی از سرریزهای متواالی (ویتل و پوری، ۱۹۸۷)

در این روش ابتدا دو منحنی معروفی می‌شوند. منحنی $FJHC^7$ نشان‌دهنده تغییرات عمق مزدوج جریان پس از پرش هیدرولیکی در حوضچه سرریز انتهایی در برابر دبی متغیر جریان می‌باشد و منحنی $TWRC^8$ منحنی عمق بر حسب دبی رودخانه است که برای محاسبه ارتفاع سرریز (پله) انتهایی باید این دو منحنی با همدیگر مطابقت داشته باشند. به بیان دیگر برای ایجاد پرش هیدرولیکی درون حوضچه سرریز انتهایی در دبی طرح، باید عمق رودخانه با عمق مزدوج (عمق ثانویه) جریان پس از پرش برابر یا بیشتر باشد. در این روش با استفاده از معادله منحنی $FJHC$ (شکل (۲)), ارتفاع سرریز (پله) انتهایی (H_t) از رابطه (۱) محاسبه می‌شود (ویتل و پوری، ۱۹۸۷):

$$H_t = \frac{g * y_{td}^4}{7.8 q_d^2} \quad (1)$$

که در رابطه فوق، y_{td} عمق پایاب در دبی طرح، g شتاب گرانشی و q_d دبی طرح در واحد عرض سد می‌باشد.

در ادامه، با منظور نمودن رابطه برنولی برای دو مقطع (یکی در پای شوت^۹ سرریز (تنداب، قسمت انتهایی سرریز) و یکی

بهینه سرریز پلکانی استفاده نمودند. در ادامه، دارائی خواه و همکاران در سال ۲۰۰۹ از الگوریتم هوش جمعی ذرات^۱ برای بهینه‌سازی ابعاد حوضچه‌های آرامش آبشاری استفاده نمودند. همچنین، بزرگ‌حداد و همکاران در سال ۲۰۱۰ برای طراحی بهینه سرریز پلکانی از الگوریتم جفت‌گیری زنبور عسل^۲ استفاده نمودند. افشار و دارائی خواه در سال ۱۳۸۹ نیز از الگوریتم ژنتیک برای بهینه‌سازی ابعاد سرریز پلکانی استفاده نمودند. در نهایت جزائری فارسانی و معینی (۱۳۹۵) از الگوریتم کلونی زنبور عسل مصنوعی^۳ به منظور طراحی بهینه سرریز پلکانی استفاده نمودند و نشان دادند که استفاده از این الگوریتم در بهینه‌سازی سرریز پلکانی مؤثر می‌باشد.

بررسی سابقه تحقیقاتی نشان‌دهنده آن است که فقط تعداد محدودی کار تحقیقاتی در زمینه طراحی بهینه سرریزها و به ویژه سرریز پلکانی انجام شده است. لذا در این تحقیق با استفاده از یکی از جدیدترین الگوریتم‌های فراکاوشی به نام الگوریتم جستجوی گرانشی^۴، مسئله طراحی بهینه سرریز پلکانی سد تهری^۵ هندوستان به عنوان مطالعه موردی حل شده و با نتایج روش ویتل و پوری^۶ و الگوریتم ژنتیک مقایسه می‌شود.

مواد و روش

در این تحقیق از روش ویتل و پوری، الگوریتم ژنتیک و الگوریتم جستجوی گرانشی برای طراحی بهینه سرریز پلکانی استفاده می‌شود و لذا در این بخش توضیحاتی در مورد این روش‌ها ارائه می‌شود.

روش ویتل و پوری

در این روش با توجه به عمق آب رودخانه پایین‌دست و سایر شرط‌های موجود، ابتدا طول و موقعیت حوضچه سرریز انتهایی مشخص می‌شود. سپس با توجه به طول باقیمانده سد (با توجه به توپوگرافی)، این طول باقیمانده بر تعداد

^۶.Tehri dam

^۷.Vittal and Porey

^۸.Free-Jump-Height Curve

^۹.Tail Water-Rating Curve

۱. Chute

۲. Particle Swarm Optimization

۳. Honey-Bee Mating Optimization

۴. Ant Bee Colony algorithm

۵. Gravitational Search Algorithm

با مشخص شدن اعمق اولیه و ثانویه پرش هیدرولیکی، طول حوضچه سرریز انتهایی، L_t با استفاده از رابطه پیشنهادی $USBR^1$ از رابطه (۸) تعیین می‌شود (ویتانل و پوری، ۱۹۸۷).

$$L_t = 4.25 * y_2 \quad (8)$$

با مقایسه دو منحنی ارائه شده در شکل (۲)، بیشترین اختلاف تراز پایاب و عمق ثانویه پرش هیدرولیکی، ΔZ_t تعیین می‌شود که برای ایجاد کامل پرش هیدرولیکی لازم است که کف حوضچه سرریز انتهایی به اندازه ΔZ_t باید پایین برود؛ بنابراین ارتفاع اصلاحی سرریز انتهایی، P_t از رابطه (۹) محاسبه می‌شود (ویتانل و پوری، ۱۹۸۷).

$$P_t = H_t + \Delta Z_t \quad (9)$$

در ادامه، با استفاده از مقدار دبی طرح، هد کل روی تاج سرریز توسط رابطه (۱۰) تعیین می‌شود (ویتانل و پوری، ۱۹۸۷).

$$h_{0d} = \left(\frac{q_d}{c\sqrt{2g}} \right)^{2/3} \quad (10)$$

که در رابطه فوق، h_{0d} هد کل روی سرریز است و سایر پارامترها از قبل تعریف شده‌اند.

پس از تعیین هد کل روی سرریز، طول افقی شوت سرریز انتهایی (x_t)، با استفاده از رابطه پیشنهادی $USBR$ برای سرریز اوجی، توسط رابطه (۱۱) محاسبه می‌شود (ویتانل و پوری، ۱۹۸۷).

$$x_t = 1.455 h_{0d} \left(\frac{P_t}{h_{0d}} \right)^{1/85} \quad (11)$$

در ادامه، مقداری برای تعداد کل سرریزها (N) فرض می‌شود و رابطه (۱۲) با استفاده از منحنی $FJHC$ و رابطه پیوستگی، برای تعیین ارتفاع سرریزهای ماقبل از سرریز انتهایی (P_p) با روش آزمون و خطا حل می‌شود (ویتانل و پوری، ۱۹۸۷).

$$P_p = \frac{H_0 - H_t}{N-1} + 1.671 \frac{q_d^{0.5} P_p^{0.25}}{g^{0.25}} - \left(\frac{q_d}{c\sqrt{2g}} \right)^{\frac{2}{3}} + 0.179 \frac{q_d}{g^{0.5} P_p^{0.5}} \quad (12)$$

قبل از شوت سرریز) و با درنظر گرفتن رابطه پیوستگی برای مقطع قبل از شوت سرریز، دو رابطه (۲) و (۳) حاصل می‌شود. شایان ذکر است که برای ساده‌سازی این دو رابطه از پارامترهای بدون بعد p^* و q^* استفاده شده که در روابط (۴) و (۵) ارائه شده است (ویتانل و پوری، ۱۹۸۷):

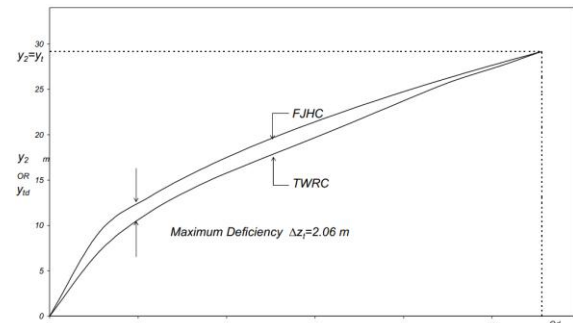
$$\frac{1}{q_*} = (0.5Fr_1^{\frac{4}{3}} + Fr_1^{\frac{-2}{3}} - \frac{1}{\frac{1}{2}^{\frac{1}{2}}})^{\frac{3}{2}} \quad (2)$$

$$P_* = \frac{Fr_1^2}{2} - \frac{Fr_1^{\frac{2}{3}}}{\frac{1}{2}^{\frac{1}{2}}} + 1 \quad (3)$$

$$P_* = \frac{P}{y_1} \quad (4)$$

$$q_* = \frac{q_d}{g^{0.5} P^{1.5}} \quad (5)$$

که در روابط فوق، Fr_1 مقدار عدد فرود اولیه در محل پرش، c ضریب جریان ($C=0.47$) و P ارتفاع سرریز (همان H_t) انتهایی می‌باشد. شایان ذکر است که در این روش ابتدا توسط رابطه (۵) مقدار q_* محاسبه شده و در ادامه توسط رابطه (۲)، Fr_1 با روش سعی و خطأ محاسبه می‌شود. سپس توسط رابطه (۶) عمق اولیه پرش (y_1) در حوضچه سرریز انتهایی تعیین می‌شود (ویتانل و پوری، ۱۹۸۷).



شکل (۲): مقایسه بین منحنی‌های $FJHC$ و $TWRC$ برای سرریز انتهایی (ویتانل و پوری، ۱۹۸۷)

$$Fr_1 = \frac{V_1}{\sqrt{gy_1}} \quad (6)$$

که در رابطه فوق، V_1 سرعت اولیه قبل از پرش بوده و سایر پارامترها از پیش تعیین شده‌اند. پس از تعیین عمق اولیه پرش، عمق ثانویه آن، y_2 ، توسط رابطه (۷) تعیین می‌شود (ویتانل و پوری، ۱۹۸۷):

$$\frac{y_2}{y_1} = 0.5(\sqrt{1 + 8Fr_1^2} - 1) \quad (7)$$

استفاده در روابط این روش بر اساس ضوابط *USBR* منظور شده‌اند (USBR، ۱۹۸۵):

$$\frac{y}{h_{0d}} = 0.5 \left(\frac{x}{h_{0d}} \right)^{1.85} \quad (17)$$

که در رابطه فوق، x و y مختصات نقاط سریز و h_{0d} هد کل روی سریز است.

الگوریتم ژنتیک

الگوریتم ژنتیک یکی از قدیمی‌ترین الگوریتم‌های فراکاوشی است که توسط جان هالند^۱ معرفی شد. این الگوریتم بر مبنای تکامل طبیعی موجودات زنده ابداع شده است (هالند، ۱۹۷۵)، به عبارت دیگر الگوریتم ژنتیک فرآیندی تکاملی است که اساسی‌ترین اصل تکامل وراثت است. در این الگوریتم، در ابتدا جمعیتی از کروموزوم‌ها^۲ به تعداد معینی تولید می‌شوند. در فضای جستجوی مسئله هر کدام از کروموزوم‌ها یک جواب می‌باشد که هریک از کروموزوم‌ها، فرد نام دارد که مجموعه آن‌ها نسل فعلی را تشکیل می‌دهد. سپس به هر فرد برازنده‌گی^۳، بر اساس تابع هدف، تخصیص داده می‌شود که از این برازنده‌گی متعاقباً برای انتخاب افراد برتر، جهت ادامه فرآیند استفاده می‌شود. هرچه این برازنده‌گی بیشتر باشد احتمال انتخاب آن فرد برای تولید نسل بعدی بیشتر است (هالند، ۱۹۷۵).

پس از تعیین برازنده‌گی اعضای جمعیت می‌توان آن‌ها را با احتمالی متناظر با برازنده‌گی نسبی‌شان انتخاب و برای تولید نسل بعدی ترکیب کرد. در مرحله بعدی از عملگرهای آمیزش و جهش برای تولید نسل بعدی اجرا می‌شوند. سپس در صورت لزوم رشته‌های افراد جمعیت، کدگشایی شده و تابع هدف ارزیابی و مقدار برازنده‌گی هر فرد تعیین می‌شود و افراد متناسب با برازنده‌گی آن‌ها برای جفت‌گیری و تولید نسل بعدی انتخاب می‌شوند (هالند، ۱۹۷۵). فرآیند مذکور تا رسیدن به شرط توقف ادامه می‌یابد.

در انتهای این نکته قابل ذکر است که الگوریتم ژنتیک دارای سه عملگر انتخاب^۴، آمیزش^۵ و جهش^۶ می‌باشد که بر اساس آن بهترین جواب تعیین می‌شود. در ادامه به اختصار در مورد هریک از این عملگرها توضیحاتی ارائه می‌شود.

که در رابطه فوق، H_0 ارتفاع کلی سقوط جریان و سایر پارامترها از پیش تعريف شده‌اند. سپس با جایگذاری مقدار P_p در رابطه (۵) به جای P ، مقدار q^* برای سریزهای ماقبل محاسبه می‌شود. در ادامه با استفاده از رابطه (۲) عدد فرود اولیه در محل پرش برای سریزهای ماقبل محاسبه می‌شود. همانند سریز انتهایی، با استفاده از روابط (۶) و (۷)، اعماق پرش در سریزهای ماقبل تعیین می‌شود. در ادامه با استفاده از رابطه (۱۳) طول افقی حوضچه سریزهای ماقبل (L_i) تعیین می‌شود (ویتل و پوری، ۱۹۸۷):

$$L_i = 6(y_2 - y_1) \quad (13)$$

شایان ذکر است که مجموع طول افقی حوضچه سریز با طول افقی شوت سریز، به عنوان طول افقی هر پله سریز، L_i منظور می‌شود. همچنین توسط رابطه (۱۱) و با جایگذاری P_p به جای P ، مقدار طول افقی شوت سریزهای ماقبل انتهایی، x_p ، محاسبه می‌شود.

سپس با استفاده از روابط (۱۲) و (۱۴)، مقدار برآمدگی انتهایی حوضچه سریزهای ماقبل (Δz_p) توسط رابطه (۱۵) محاسبه می‌شود (ویتل و پوری، ۱۹۸۷):

$$N(P_p - \Delta z_p) = H_0 - H_t \quad (14)$$

$$\Delta z_p = 1.671 \frac{q_d^{0.5} P_p^{0.25}}{g^{0.25}} - \left(\frac{q_d}{c\sqrt{2g}} \right)^{\frac{2}{3}} + 0.179 \frac{q_d}{g^{0.5} P_p^{0.5}} \quad (15)$$

که در این روابط تمامی پارامترها از پیش تعريف شده‌اند. در انتهای این روش، با استفاده از رابطه (۱۶) طول کلی احداث سریز پلکانی، L ، محاسبه می‌شود (ویتل و پوری، ۱۹۸۷):

$$L = (N - 1)(x_p + L_i) + (x_t + L_t) \quad (16)$$

شایان ذکر است تازمانی که برای N فرضی، مقادیر به گونه‌ای تعیین شوند که طول کل سریز (L) برابر یا کمتر از طول مجاز احداث سریز (L_a) بر حسب متر باشد، مراحل فوق تکرار می‌شوند.

در نهایت پروفیل طولی سریزها از رابطه (۱۷) تعیین می‌شود. در انتهای این نکته قابل ذکر است که مقادیر مورد

^۴.Selection

^۵.Crossover

^۶.Mutation

۱.John Holland

۲.Chromosome

۳.Fitness

- (۲) الگوریتم پشتونه ریاضی ضعیفی دارد
 (۳) لزوماً به جواب بهینه مطلق همگرا نمی‌شود.

الگوریتم جستجوی گرانشی

الگوریتم جستجوی گرانشی یکی از جدیدترین الگوریتم‌های فرآکاوشی است که در سال ۲۰۰۹ توسط راشدی و همکاران و با الهام از قانون گرانشی حاکم در طبیعت و بر اساس قانون‌های گرانش و حرکت نیوتون معرفی شد. در این الگوریتم عامل‌های جستجوگر مجموعه‌ای از جسم‌ها (سیاره‌ها) هستند که منطقه جواب‌های بهینه همانند سیاه چاله‌ای این عامل‌ها را به سمت خود جذب می‌کند. اطلاعات مربوط به برآزندگی هر جرم در قالب جرم‌های گرانشی و اینرسی ذخیره می‌شوند. اثرگذاری‌های متقابل سیاره‌ها بر همدیگر تحت نیروهای گرانش و قانون‌های حاکم بر آن انجام می‌شود (راشدی و همکاران، ۲۰۰۹).

در این الگوریتم، محیط سیستم یک دستگاه مختصات چندبعدی در فضای تعریف مسئله می‌باشد. هر نقطه از این فضا یک جواب از مسئله است که از بین این جواب‌ها، جواب بهینه انتخاب می‌شود. بر اساس قانون‌های فیزیک، هر جرم چهار ویژگی شامل موقعیت جرم، جرم گرانشی فعال، جرم گرانشی غیر فعال و جرم اینرسی دارد. در این الگوریتم تنها قانون‌های گرانش و حرکت بر سیستم حاکی می‌باشند (زینک^۵ و گاوو^۶، ۲۰۱۳).

اگر در فضای جستجوی مسئله N جسم موجود باشد موقعیت جسم $N, i=1,2,\dots,d$ در جهت بعد d با x_i^d نشان داده می‌شود و لذا خواهیم داشت:

$$x_i^d = (x_i^1, x_i^2, \dots, x_i^n) \quad (18)$$

نیرویی که به جسم i توسط جسم زدر زمان t در جهت بعد d , F_{ij}^d وارد می‌شود توسط رابطه (۱۹) محاسبه می‌شود (راشدی و همکاران، ۲۰۰۹).

$$F_{ij}^d = G(t) \frac{M_{pi}(t)*M_{ai}(t)}{R_{ij}^{Rpower} + \varepsilon} (x_j^d(t) - x_i^d(t)) \quad (19)$$

- عملگر انتخاب: پس از آنکه جمعیت کروموزوم‌ها (افراد) تعیین شد لازم است که تعدادی از آن‌ها برای تولید نسل بعد انتخاب شوند. انتخاب این افراد برای والد شدن توسط عملگر انتخاب انجام می‌شود به این گونه که هر فردی که برآزندگی بیشتری دارد احتمال انتخابش بیشتر است. روش‌های چرخ‌گردان^۱, تورنمنت^۲ و انتخاب یکنواخت^۳ از روش‌های متداول عملگر انتخاب می‌باشند (گلدبگ، ۱۹۸۹).

- عملگر آمیزش: پس از آنکه کروموزوم‌های والد انتخاب شدند لازم است که با هم ترکیب شوند تا کروموزوم (فرد) جدید تولید شود. عمل ترکیب کروموزوم‌ها توسط عملگر آمیزش انجام می‌شود تا کروموزوم جدیدی که تولید می‌شود ترکیبی از خصوصیات ژن‌های والدهای خود باشد.

عملگر آمیزش روی تمامی کروموزوم‌ها اعمال نمی‌شود بلکه با احتمال معینی روی کروموزوم‌های منتخب اعمال می‌شود که هرچه این احتمال بیشتر باشد در فضای جستجوی مسئله، الگوریتم جواب بهتری را پیدا می‌کند. ولیکن اگر این احتمال بسیار زیاد باشد هزینه محاسباتی زیاد شده و زمان زیادی برای انجام محاسبه‌ها هدر می‌رود (گلدبگ، ۱۹۸۹). این عملگر انواع گوناگونی دارد که تفاوت عمده آن‌ها در چگونگی تبادل ژن‌ها بین کروموزوم‌های والد به منظور تولید کروموزوم مولد است.

- عملگر جهش: جهش فرآیندی است که ژنی را با ژن دیگر برای تولید یک ساختار ژنتیکی جدید تعویض می‌کند. به بیان دیگر عملگر جهش تغییری غیرمنتظره و کاملاً تصادفی در رشته ایجاد می‌کند. عملگر آمیزش در فرزند، کروموزوم‌های متفاوت با کروموزوم‌های والد ایجاد می‌کند در حالیکه کروموزوم‌های فرزند دارای ژن‌های مشترکی از دو والد هستند، ولیکن عملگر جهش ویژگی‌هایی ایجاد می‌کند که اصلًاً در کروموزوم‌های والد وجود ندارند (گلدبگ، ۱۹۸۹). در انتهای ذکر این نکته ضروری است که این الگوریتم نیز همانند سایر الگوریتم‌های فرآکاوشی مزايا و معایبی دارد که به مزايا کلی آنها در بخش مقدمه اشاره شد. ولیکن مهمترین معایب این الگوریتم عبارت است از:

۱) به حافظه و محاسبات نسبتاً زیادی نیاز دارد

^۴.Goldberg

^۵.Xing

^۶.Gao

۱.Roulette Wheel Selection Method

۲.Tournament

۳.Uniform

$$a_i^d(t) = \frac{F_i^d(t)}{M_{ii}(t)} \quad (22)$$

که در آن، $a_i^d(t)$ شتاب جسم i درجهت بعد d در زمان t و $M_i(t)$ جرم اینرسی جسم i در زمان t می‌باشد.

با شتابدار شدن جسم، سرعت آن نیز تغییر می‌کند که سرعت جدید هر جسم با مجموع ضریبی از سرعت فعلی و شتاب جسم برابر است (راشدی و همکاران، ۲۰۰۹):

$$v_i^d(t+1) = rand_i * v_i^d(t) + a_i^d(t) \quad (23)$$

که در رابطه فوق، $v_i^d(t+1)$ سرعت جدید جسم i درجهت بعد d $rand_i$ عددی تصادفی در بازه $[0,1]$ ، $a_i^d(t)$ سرعت قبلی جسم i درجهت بعد d می‌باشد.

درنهایت موقعیت جدید جسم مطابق توسط رابطه (۲۴) تعیین می‌شود (راشدی و همکاران، ۲۰۰۹):

$$x_i^d(t+1) = x_i^d(t) + v_i^d(t+1) \quad (24)$$

که در رابطه فوق، $x_i^d(t+1)$ موقعیت جدید جسم i درجهت بعد d $x_i^d(t)$ موقعیت قبلی جسم i درجهت بعد d می‌باشد.

شایان ذکر است که در این الگوریتم ثابت گرانش توسط رابطه (۲۵) به صورت کاهشی محاسبه می‌شود (راشدی و همکاران، ۲۰۰۹):

$$G(t) = G_0 * e^{\frac{\alpha t}{T}} \quad (25)$$

که در رابطه فوق، G_0 ثابت اولیه گرانش، α عدد ثابت مثبت و T تعداد کل تکرارهای الگوریتم است.

در الگوریتم جستجوی گرانشی، هر سه جرم گرانشی فعال، گرانشی غیرفعال و اینرسی طبق رابطه (۲۶) برابر فرض می‌شوند. همچنین برای تنظیم این جرم‌ها از رابطه (۲۷) استفاده شده و سپس این جرم‌ها توسط رابطه (۲۸) نرمالیزه می‌شوند. در طی این مرحله‌ها به جرم‌های با برازنده‌گی بهتر، جرم بیشتری نسبت داده می‌شود (راشدی و همکاران، ۲۰۰۹):

$$M_{ai} = M_{pi} = M_{ii} = M_i \quad (26)$$

$$q_i(t) = \frac{fit_i(t) - worst(t)}{best(t) - worst(t)} \quad (27)$$

که در رابطه فوق، $G(t)$ ثابت گرانشی در زمان t و $M_{pi}(t)$ به ترتیب جرم گرانشی غیرفعال و فعال جسم i در زمان t R_{ij} فاصله بین دو جسم در زمان t $Rpower$ توان فاصله بین دو جسم و ϵ عدد بسیار کوچک است. فاصله بین این دو جسم i وز توسط رابطه (۲۰) محاسبه می‌شود (راشدی و همکاران، ۲۰۰۹):

$$R_{ij} = \|x_i(t) - x_j(t)\| = \sqrt{(x_i(t) - x_j(t))^2} \quad (20)$$

که در رابطه فوق، $x_i(t)$ و $x_j(t)$ به ترتیب موقعیت جسم i و جسم j در زمان t می‌باشد. در نهایت، مجموع نیروهای وارد به جسم i درجهت بعد d در زمان t $F_i^d(t)$ برابر مجموع ضریب‌های تصادفی نیروهایی است که جسم k برتر به جسم i وارد می‌کند؛ بنابراین خواهیم داشت (راشدی و همکاران، ۲۰۰۹):

$$F_i^d(t) = \sum_{j \in k_{best}, j \neq 1} (rand_j F_{ij}^d(t)) \quad (21)$$

که در رابطه فوق، k_{best} مجموعه متغیری از k عضو بتر سیستم، $rand_j$ عددی تصادفی در بازه $[0,1]$ است. از آنجا چند جسم به جسم i نیرو وارد می‌کنند بنابراین در این الگوریتم تمامی نیروهای وارد به جسم i منظور نمی‌شوند بلکه برای بهبود قدرت اکتشاف الگوریتم برای یافتن جواب بهینه تنها به k عضو بتر از تمامی نیروها اجازه اثرباری داده می‌شود (عموماً ۲ درصد).

شایان ذکر است که در زمان‌های اولیه جستجو، الگوریتم به جستجوی فرآگیر در فضای جستجوی مسئله می‌پردازد ولی با گذشت زمان قدرت کشف الگوریتم بهتر شده و جستجو به سمت نقاط بهینه هدایت می‌شود. این مفهوم‌ها با واژه‌های اکتشاف^۱ و بهره‌برداری^۲ تعریف می‌شوند که باید این دو عامل به صورت کارآمد تنظیم شوند. در اینجا با انتخاب جسم‌های تأثیرگذار، این دو عامل تنظیم می‌شود (راشدی و همکاران، ۲۰۰۹).

با محاسبه نیروی وارد به جسم، جسم شتابی درجهت بعد d می‌گیرد که با نیروی وارد بر آن درجهت بعد d و معکوس جرم اینرسی آن متناسب است؛ بنابراین خواهیم داشت (راشدی و همکاران، ۲۰۰۹):

که هر یک از این هزینه‌ها خود تابع ارتفاع سرریزها و طول حوضچه‌ها هستند. در این تحقیق هزینه بتن‌ریزی و خاکبرداری در هر مترمکعب با توجه به فهرست بهای سال ۱۳۸۴ به ترتیب برابر ۱۸۰۰۰ ریال و ۲۳۱۰۰ ریال منظور شده است (افشار و دارایی خواه، ۱۳۸۹).

در ادامه محدودیت‌های مسأله بهینه‌سازی نیز تعریف می‌شود که شامل محدودیت‌های هیدرولیکی و توپوگرافی می‌باشد که به شکل زیر تعریف می‌شوند (ویتال‌وپوری، ۱۹۸۷):

$$H_0 - \sum_{p=1}^N (P_p - \Delta Z_p) - \Delta Z_t \geq 0 \quad (30)$$

که در این رابطه ΔZ_p ارتفاع برآمدگی انتهای حوضچه‌های آرامش سرریزهای ماقبل می‌باشد. رابطه فوق بیانگر این است که مجموع ارتفاع سرریزها و برآمدگی‌های انتهایی هر حوضچه از ارتفاع کلی سقوط جریان بیشتر نشود. همچنین، این محدودیت لازم است که برای سرریز انتهایی نیز رعایت شود، بنابراین خواهیم داشت (ویتال‌وپوری، ۱۹۸۷):

$$P_t - (H_t + \Delta Z_t) \geq 0 \quad (31)$$

علاوه بر این، لازم است که طول افقی حوضچه‌ها از طول قابل دسترس کمتر باشد؛ بنابراین خواهیم داشت (ویتال‌وپوری، ۱۹۸۷):

$$L_a - \sum_{p=1}^N (L_i + x_p) \geq 0 \quad (32)$$

همچنین برای ایجاد پرش هیدرولیکی کامل، محدودیت‌های هیدرولیکی نیز در این مسأله منظور می‌شود که عبارتند از (ویتال‌وپوری، ۱۹۸۷):

$$P_{max} - P_p \geq 0 \quad (33)$$

$$P_p - P_{min} \geq 0 \quad (34)$$

$$L_i - l_{i,min} \geq 0 \quad (35)$$

که در این رابطه‌ها P_{max} و P_{min} و L_i و $l_{i,min}$ به ترتیب ارتفاع حداقل سرریز، ارتفاع حداقل سرریز، طول افقی حداقل حوضچه و طول افقی حوضچه سرریزهای ماقبل می‌باشد که مقادیر آن توسط ضوابط *USBR* انتخاب می‌شوند.

مطالعه موردی

$$M_i(t) = \frac{q_i(t)}{\sum_{j=1}^N q_j(t)} \quad (28)$$

که در رابطه‌های فوق، هر سه جرم گرانشی فعال و غیرفعال و اینرسی همگی با M_i (جرم کل جسم i) برابر در نظر گرفته شده‌اند. همچنین $q_i(t)$ مقدار تابع هدف جسم i در زمان t (fit (t) میزان برازنده‌گی جسم i در زمان t) و worst (t) به ترتیب بهترین و بدترین مقدار برازنده‌گی تابع هدف در زمان t و $M_i(t)$ جرم نرمالیزه شده جسم i در زمان t است (راشدی و همکاران، ۲۰۰۹).

در حالت کلی، در این الگوریتم با تعریف فضای جستجوی مسأله و معرفی پارامترها و بهروزسانی آن در طول گذر زمان، در هر لحظه جسم‌ها ارزیابی و تغییر مکان آن محاسبه می‌شود. در ادامه جرم‌های گرانشی فعال، غیرفعال، اینرسی و ثابت گرانشی بهروزسانی می‌شوند و این فرآیند تاریخی به شرط توقف ادامه می‌یابد.

در انتهای ذکر این نکته ضروری است که این الگوریتم نیز همانند سایر الگوریتم‌های فرآکاوشی مزايا و معایبی دارد که به مزايا کلی آنها در بخش مقدمه اشاره شد. ولیکن مهمترین عیب این الگوریتم این است که این الگوریتم پیوسته بوده و لذا برای حل مسائل پیوسته مفید بوده و برای مسائل گسسته مناسب نمی‌باشد.

مدل بهینه‌سازی سرریز پلکانی

در این بخش مدل ریاضی بهینه‌سازی مسأله طراحی سرریز پلکانی تعریف می‌شود. هر مدل ریاضی بهینه‌سازی شامل متغیر(های) تصمیم، تابع هدف و محدودیت‌های (قيود) مسأله است.

در این مسأله متغیرهای تصمیم، ارتفاع سرریزها (P_i) و طول افقی حوضچه‌های آرامش (L_i) می‌باشند. تابع هدف مسأله معیاری است که میزان مطلوبیت هر مسأله را تحت حالات مختلف ارزیابی می‌کند. در این تحقیق تابع هدف حداقل‌سازی هزینه‌های احداث سرریز پلکانی است که مطابق رابطه (۲۹) تعریف می‌شود (افشار و دارائی خواه، ۱۳۸۹):

$$\text{Minimize } f = \sum_{i=1}^N (f_1(P_i, l_i) + f_2(P_i, l_i)) \quad (29)$$

که در رابطه فوق f کل هزینه‌های احداث سرریز سد می‌باشد که شامل دو زیرهزینه خاکبرداری (f_1) و بتن‌ریزی (f_2) است

لذا در این تحقیق $N=4$ منظور شده است. در جدول (۱) مقادیر بدست آمده برای پارامترها با استفاده از روش ویتال و پوری ارائه شده است.

جدول (۱): ابعاد سرریزها و حوضچه های به دست آمده از روش ویتال و پوری

N	P _p (m)	x _p (m)	L _i (m)	Δz _p (m)	L(m)
۴	۶۵/۷۵	۴۸/۰۶	۱۵۶/۶۱	۱۵/۲۵	۷۸۸/۲۵

مقادیر X_i و L_i به ترتیب طول افقی شوت سرریز انتهایی و طول حوضچه سرریز انتهایی می باشند که به ترتیب برابر با $۴۹/۱۶$ و $۱۲۵/۰۴$ متر می باشد. همچنین، هزینه احداث سرریز پلکانی زمانیکه چهار سرریز دارد ۹۹۴ میلیون ریال می باشد.

در ادامه این مسأله با استفاده از الگوریتم های ژنتیک و جستجوی گرانشی حل شده و نتایج تجربی و تحلیل می شود. بدین منظور کدنویسی در محیط نرم افزار متلب انجام شده و نتایج حاصل از ده بار اجرای برنامه ارائه می شود. دو الگوریتم ژنتیک و جستجوی گرانشی پارامترهایی دارند که لازم است برای تعیین بهترین مقادیر آنها، آنالیز حساسیت انجام شود. در این تحقیق نیز به منظور تعیین مقادیر مطلوب پارامترها، آنالیز حساسیت انجام شده است. با توجه به آنالیز حساسیت انجام شده بهترین مقادیر این پارامترها مطابق جدول (۲) و (۳) می باشد. اعداد جدول (۲) نشان دهنده درصد احتمال هریک از عملگرها می باشد.

جدول (۲): بهترین مقادیر پارامترهای الگوریتم ژنتیک

آمیزش	انتخاب	جهش
۰/۸۵	roulette	۰/۱۵

شایان ذکر است که تمام الگوریتم ها به ازای 100 هزار عملگر ارزیابی (حاصل ضرب جمعیت (N_p) در تعداد تکرار ($Iter$)) حل شده است.

جدول (۳): بهترین مقادیر پارامترهای الگوریتم جستجوی گرانشی

rpower	α	G_0	elitistcheck
۱/۱	۰/۰۱	۳۰۰	۲%

در این تحقیق، به منظور ارزیابی الگوریتم های جستجوی گرانشی در حل مسأله بهینه سازی سرریز پلکانی، از اطلاعات سرریز پلکانی سد تهری به عنوان مطالعه موردی استفاده شده است. این سد بر روی رود گنگ^۱ در کشور هندوستان واقع شده است. در سد تهری عرض کلی تاج سرریز اصلی (w) ۹۵ متر، تراز رأس سرریز اصلی ۸۱۸ متر، دبی طرح ۱۱۰۰۰ متر مکعب بر ثانیه، طول تاج سرریز ۸۰ متر، تراز بستر رودخانه در پایین دست سد ۶۰۰ متر، مجموع ارتفاع سقوط جريان (H_0) ۲۱۸ متر، عمق پایاب رودخانه برای سيلاب طرح (y_{id}) $۲۹/۲$ متر و طول مجاز احداث سرریز (L_a) ۷۷۸ متر می باشد (موهان^۲ و همکاران، ۱۹۸۵).

همچنین مقادیر حداقل و حداقل ارتفاع سرریز بر اساس ضوابط *USBR* بر حسب متر پیشنهاد شده است:

$$P_{min}=30.96, P_{max}=92.58$$

علاوه بر این مقدار حداقل طول افقی حوضچه آرامش سرریزهای ماقبل توسط ضابطه *USBR* با استفاده از رابطه

$$l_{i,min}=6^*(y_2-y_1)$$

محاسبه می شود.

در این تحقیق، در ابتدا ابعاد بهینه سرریز پلکانی با استفاده از روش ویتال و پوری تعیین می شود. با استفاده از روش ویتال و پوری نتیجه می شود که تنها حالت های انتخابی مطلوب برای تعداد سرریزها (N), سه و چهار سرریز می باشد چرا که فقط در این دو حالت است که اولاً پرش هیدرولیکی در حوضچه های آرامش هریک از سرریزها به صورت کامل تشکیل می شود (به بیان دیگر محدودیت های توپوگرافی اعمال شده ارضا می شوند) ثانیاً محدودیت های توپوگرافی که شامل طول در دسترس برای احداث سرریزها بود، رعایت شده است.

با استفاده از روش ویتال و پوری در حالتی که چهار سرریز منظور شود، مجموع طول کلی سرریز سد (L) تفاوت اندکی با طول مجاز احداث سرریز ($La = ۷۷۸$) دارد و این اختلاف حدود ۱۰ متر است. در حالیکه در زمانیکه سه سرریز منظور شود، طول کلی سرریز سد تفاوت زیادی با طول مجاز احداث سرریز ($La = ۷۷۸$) دارد و این اختلاف حدود ۱۳۶ متر می باشد که این اختلاف منجر به خاکبرداری بیشتری نسبت به حالت چهار سرریز می شود و

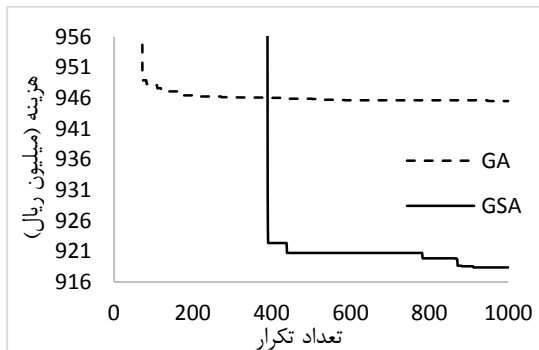
در ادامه جداول (۶) و (۷) به ترتیب ابعاد سرریزها و حوضچه‌های به دست آمده در بهترین جواب با استفاده از الگوریتم‌های ژنتیک و جستجوی گرانشی ارائه شده است که در آن L_i طول افقی حوضچه آرامش و L'_i طول کلی افقی هر پله سرریز (مجموع طول کلی احداث سرریز شوت سرریز) است. همچنین طول کلی احداث سرریز پلکانی، (مجموع L_i' ها)، در الگوریتم ژنتیک و جستجوی گرانشی به ترتیب ۷۷/۰۸ و ۷۷/۵۷ متر می‌باشد.

جدول (۶): ابعاد سرریزها و حوضچه‌های به دست آمده با الگوریتم ژنتیک به ازای بهترین جواب

سرریز	P(m)	x(m)	L_i (m)	Δz (m)	L'_i (m)
اول	۳۸/۹۷	۴۶/۲۲	۱۳۵/۱۹	۱۱/۹۲	۱۷۱/۴۱
دوم	۵۹/۴۲	۴۵/۵۰	۱۵۳/۹۷	۱۴/۵۶	۱۹۹/۴۷
سوم	۷۸/۸۵	۵۳/۰۲	۱۶۶/۵۷	۱۶/۵۳	۲۱۹/۵۹
چهارم	۸۵/۶۱	۵۵/۴۳	۱۳۱/۴۵	۰	۱۸۶/۸۸

جدول (۷): ابعاد سرریزها و حوضچه‌های به دست آمده با الگوریتم جستجوی گرانشی به ازای بهترین جواب

سرریز	P(m)	x(m)	L_i (m)	Δz (m)	L'_i (m)
اول	۳۰/۹۲	۳۱/۹۶	۱۴۰/۰۸	۱۰/۶۲	۱۷۲/۰۴
دوم	۵۴/۵۲	۴۲/۴۳	۱۴۶/۷۳	۱۴/۰۰	۱۹۰/۱۶
سوم	۸۵/۰۴	۵۵/۲۳	۱۶۹/۵۷	۱۷/۰۸	۲۲۴/۸۰
چهارم	۹۱/۱۱	۵۷/۳۲	۱۳۳/۲۵	۰	۱۹۰/۰۷



شکل (۳): نمودار همگرایی بهترین جواب‌های به دست آمده در دو الگوریتم ژنتیک و جستجوی گرانشی

شکل (۳) به منظور مقایسه نحوه همگرایی بهترین جواب‌های به دست آمده از الگوریتم ژنتیک و جستجوی گرانشی در تکرار ۱۰۰۰ ارائه شده است. مقایسه نتایج این شکل نشان می‌دهد که نتایج به دست آمده از الگوریتم جستجوی گرانشی از الگوریتم ژنتیک مناسب‌تر و با هزینه محاسباتی کمتر است.

مقدارهای حداقل، حداکثر، میانگین (همگی بر حسب میلیون ریال) و انحراف از معیار نرمالیزه شده ($StdN$) در ده بار اجرای برنامه با استفاده از الگوریتم‌های ژنتیک و جستجوی گرانشی برای هنگامی که چهار سرریز منظور می‌شود ($N=4$) به ترتیب در جداول (۴) و (۵) ارائه شده‌اند:

جدول (۴): نتایج هزینه احداث سرریز با استفاده از الگوریتم

ژنتیک

تعداد جمعیت و تکرار	تابع هدف (هزینه احداث سرریز)			$StdN$
	حداقل	حداکثر	میانگین	
$N_p=50$	۹۳۵	۱۰۰۹	۹۶۷	۰/۰۲۱۶
Iter=۲۰۰۰				
$N_p=100$	۹۴۵	۱۰۱۱	۹۶۳	۰/۰۱۹۲
Iter=۱۰۰۰				
$N_p=200$	۹۳۹	۱۰۰۴	۹۶۳	۰/۰۱۸۲
Iter=۵۰۰				

بررسی نتایج جدول (۴) نشان می‌دهد که بهترین جواب برای الگوریتم ژنتیک در $N_p=50$ و $Iter=2000$ حاصل می‌شود و مقدار آن برابر ۹۳۵ میلیون ریال است.

جدول (۵): نتایج هزینه احداث سرریز با استفاده از الگوریتم جستجوی گرانشی

تعداد جمعیت و تکرار	تابع هدف (هزینه احداث سرریز)			$StdN$
	حدافل	حداکثر	میانگین	
$N_p=50$	۹۲۰	۹۵۸	۹۳۶	۰/۰۱۲۰
Iter=۲۰۰۰				
$N_p=100$	۹۱۸	۹۴۹	۹۳۴	۰/۰۱۰۰
Iter=۱۰۰۰				
$N_p=200$	۹۲۲	۹۵۰	۹۳۵	۰/۰۰۸۷
Iter=۵۰۰				

همچنین بررسی جدول (۵) نشان می‌دهد که بهترین جواب برای الگوریتم جستجوی گرانشی در $N_p=100$ و $Iter=1000$ حاصل می‌شود و مقدار آن برابر ۹۱۸ میلیون ریال است. همچنین بررسی نتایج نشان می‌دهد که با استفاده از الگوریتم‌های ژنتیک و جستجوی گرانشی نسبت به روش ویتل و پوری هزینه کمتری حاصل می‌شود که در آن کمترین هزینه با استفاده از الگوریتم جستجوی گرانشی حاصل می‌شود.

نهایت الگوریتم جستجوی گرانشی نیز عملکرد بهتری نسبت به الگوریتم ژنتیک دارد.

مراجع:

- ۱-افشار، م.؛ و دارائی خواه، م. (۱۳۸۹). "کمینه سازی هزینه سریز پلکانی در سدهای بلند با استفاده از الگوریتم ژنتیک"، مجله علمی-پژوهشی عمران مدرس، ۱۰، (۱).
- ۲-افشار، م.؛ رضایی سنگدهی، س.؛ و معینی، ر. (۱۳۹۳). "الگوریتم بهینه‌سازی جامعه مورچگان در مساله‌ی بهره‌برداری بهینه از مخازن سدها: مطالعه‌ی مقایسه‌ای چهار الگوریتم"، نشریه مهندسی عمران فردوسی، ۲۵، (۲)، ۱۱۷-۱۳۴.
- ۳-جزائری فارسانی، س.پ.؛ و معینی، ر. (۱۳۹۵). "استفاده از الگوریتم کلونی زنبور عسل مصنوعی در طراحی بهینه سریز پلکانی"، پانزدهمین کنفرانس هیدرولیک ایران، قزوین.
- ۴-حسینی، م.؛ و ابریشمی، ج. (۱۳۸۹). هیدرولیک کانال‌های باز، انتشارات دانشگاه امام رضا (ع)، مشهد.
- 5-Bozorg Haddad, O. Mirmomeni, M. and Mariño, M.A. (2010). "Optimal design of stepped spillways using the HBMO algorithm", *Civil Engineering and Environmental Systems*, 27, 81-94.
- 6-Bozorg Haddad, O. Sharifi, F. and Naderi, M. (2005). "Optimum Design of Stepped Spillways Using Genetic Algorithm", *Proceedings of the 6th WSEAS Int. conf. on evolutionary computing*, Lisbon, Portugal.
- 7-Daraeikhah, M. Meraji, S.H. and Afshar, M.H. (2009). "Application of Particle Swarm Optimization to Optimal Design of Cascade Stilling Basins". *Cientia Iranica Transaction A: Civil Engineering*, 16(1), 50-57.
- 8-Frizzell, K.W. and Renna, F. (2013). "Cavitation potential of flow on stepped spillways". *Journal of Hydraulic Engineering*, 139, 630-636.
- 9-Goldberg, D.E. (1989). "Genetic algorithms in search, optimization, and machine learning". Reading, MA: Addison-Wesley.
- 10-Holland, J. (1975). "Adaptation in natural and artificial systems" MIT Press, Cambridge Mass.
- 11-Mohan, J. Tiaga, S.S. and Gupta, P.P. (1985). "Energy dissipation and Tehri and Lakhwar Dams" *Journal of Institution of Engineers*, India, 64-68.
- 12-Rashedi, E. Nezamabad-pour, H. and Saryazdi, S. (2009). "GSA: Gravitational Search Algorithm". *Information Sciences*, 179, 2232-2248.
- 13-U.S. Bureau of Reclamation. (1985). "Hydraulic design of stilling basins and bucket energy dissipaters". Engineering Monograph, No.25, U.S. Dep of Interior, Bureau of reclamation Denver.
- مسئله مذکور توسط جزائری فارسانی و معینی (۱۳۹۵) با استفاده از الگوریتم کلونی زنبور عسل مصنوعی نیز حل شد و جواب ۹۱۸ میلیون ریال برای حالت چهار سریز ($N=4$) حاصل شد. بررسی نتایج دو الگوریتم جستجوی گرانشی و کلونی زنبور عسل مصنوعی نشان می‌دهد که با استفاده از هر دو الگوریتم نتایج ۷/۶ درصد نسبت به نتایج روش ویتل و پوری بهبود می‌یابد و دو الگوریتم جواب‌های بسیار نزدیکی دارند. همچنین با استفاده از الگوریتم ژنتیک نتایج ۶ درصد نسبت به نتایج روش ویتل و پوری بهبود یافت. شایان ذکر است که اگرچه با استفاده از الگوریتم ژنتیک نسبت به روش ویتل و پوری نتایج بهتری حاصل شد ولی این الگوریتم نسبت به الگوریتم جستجوی گرانشی که نتایج ۷/۶ درصد بهبود می‌یابد، عملکرد ضعیف‌تری دارد. در انتهای این نکته قابل ذکر است که از آنجا که روش ویتل و پوری امکان مانور زیادی برای انتخاب حالت‌های مطلوب سریز انتهایی و به دنبال آن سریزهای ماقبل انتهایی وجود ندارد بنابراین روش چندان کارآمدی نمی‌باشد و لذا پیشنهاد می‌شود که از سایر روش‌ها نظیر الگوریتم‌های فراکاوشی برای تعیین ابعاد بهینه استفاده شود.

جمع‌بندی و نتیجه‌گیری

در این تحقیق، از یکی از جدیدترین الگوریتم‌های فراکاوشی به نام الگوریتم جستجوی گرانشی به منظور بهینه‌سازی هزینه‌های خاکبرداری و بتزنریزی سریز پلکانی و در نهایت کاهش هزینه‌ها در طراحی سریز پلکانی استفاده شد. به عنوان مطالعه موردنی از اطلاعات سریز پلکانی سد تهری هندستان استفاده گردید و مسئله مذکور با روش ویتل و پوری و الگوریتم‌های ژنتیک و جستجوی گرانشی حل شد. بررسی نتایج نشان داد که حالت چهار سریز، جواب بهینه مسئله بوده و هزینه احداث آن با روش ویتل و پوری ۹۹۴ میلیون ریال بود. همچنین نتایج به دست آمده با استفاده از الگوریتم ژنتیک نسبت به نتایج روش ویتل و پوری ۶ درصد بهبود یافت. همچنین با استفاده از الگوریتم جستجوی گرانشی نیز نتایج ۷/۶ درصد نسبت به روش ویتل و پوری بهبود یافت؛ به عبارت دیگر مقایسه الگوریتم‌های ژنتیک و جستجوی گرانشی نشان‌دهنده آن است که الگوریتم ژنتیک عملکرد بهتری نسبت به روش ویتل و پوری داشته و در

14-Vittal, N. and Porey, P.D. (1987). "Design of cascade stilling basins for high dam spillways". *Journal of Hydraulic Division*, 113(9), 225-237.

15-Xing, B. Gao,W.J. (2013). “Gravitional Search algorithm” *Innovative Computational Intelligence: A Rough Guide to 134 Clever Algorithms*, 355-364.

Minimization the construction cost of stepped spillway using Gravitational Search Algorithm

Sayyed Pedram Jazaeri Farsani^۱
Ramtin Moeini*^۲

Abstract

In this paper one of the newest meta-heuristic algorithms named Gravitational Search Algorithm (GSA) is used to optimal design of stepped spillway with minimizing cost. Generally, dam construction projects classify as expensive projects in which the related high costs should be reduced. Dams consist of different structures. One of these structures is energy dissipater structure. Generally, different structure such as spillway have been used for energy dissipation. Here, stepped spillway is considered as an energy dissipater structure. Therefore, GSA is used here for optimizing the excavation and concrete costs and reducing the final costs of this structure. With the use of MATLAB software for GSA coding, the Tehri dam in India is considered here as a case study and the construction cost is reduced using GSA so that all of the hydraulic constraints will be satisfied. In the following, the obtained results of GSA are compared with the results of Genetic Algorithm (GA) and Vittal and Porey (VP) approach. Comparing the results of VP approach with two used algorithms indicates that when the spillway has four steps, the results of GA and GSA are improved respectively 6% and 7.6% than the results of VP and the results of GSA are improved 1.8% than the results of GA.

Keywords

energy dissipater structures, stepped spillway, optimal design, Gravitational Search Algorithm, Genetic Algorithm, Tehri dam.

^۱.M.Sc. Student, Department of Civil Engineering, Faculty of Civil Engineering and Transportation, University of Isfahan.

^۲.Assistant Professor, Department of Civil Engineering, Faculty of Civil Engineering and Transportation, University of Isfahan.Tel:031-37935293, r.moeini@eng.ui.ac.ir